

# Relatório Computação Gráfica - Fase 4

Marco Sousa<sup>1,2[62608]</sup>, José Malheiro<sup>1,2[93271]</sup>, and Miguel Fernandes<sup>1,2[94269]</sup>

<sup>1</sup> Universidade do Minho

<sup>2</sup> Licenciatura em Engenharia Informática, Braga, Portugal

**Resumo** Com a construção do esqueleto da cena principal, em conjunto com as animações dos elementos integrantes, o próximo passo seria a população do modelo com texturas e iluminação. No caso das texturas, para cada umas das figuras geométricas deve ser calculadas as respetivas coordenadas para mapear a imagem no objeto, utilizando os conceitos de *mipmapping* (*Nearest, on the left & Linear, on the right*). Na tentativa de definir a iluminação, todas as normais de cada objeto devem ser calculadas.

Deste modo, o modelo do **sistema solar** será alterado para incluir estas alterações e produzir a maquete final.

**Keywords:** OpenGL · GLUT · Figuras Geométricas · 3D · C++ · Texturas · Iluminação · Normais · Coordenadas de Textura

## 1 Introdução

### 1.1 Contextualização

No seguimento da fase III do projeto da disciplina de Computação Gráfica da Licenciatura em Engenharia Informática da Universidade do Minho, foi proposta, numa última fase, a implementação de texturas e iluminação no projeto, através do cálculo das **coordenadas de textura** e **normais** a cada figura geométrica. Tudo irá culminar na atualização do modelo do sistema solar previamente construído com estes parâmetros.

### 1.2 Breve Descrição do Enunciado Proposto

O cerne da última fase (IV) do projeto implica alterações ao nível do *generator* e do *engine* previamente definidos. Deste modo, pretende-se:

*generator* Calcular as normais e coordenadas de textura para **cada vértice** das figuras geométricas.

*engine* Ativar as funcionalidades de iluminação e texturização, utilizando as normais e coordenadas de textura definidas.

No que toca ao *generator*, os novos ficheiros *.3D* devem ser alterados para incluir os vetores **normais** e as coordenadas de **textura** da respetiva figura geométrica. Deste modo, serão incluídas as *tags*:

*normals* Todos os vetores normais da figura geométrica.

*texture* Todas as coordenadas de textura da figura geométrica.

Relativamente à *engine*, devem ser criadas e implementadas as **cores** e texturas de cada figura geométrica permitida. Adicionalmente, será necessário definir a(s) luz(es) (tipo e parâmetros) para a cena principal. Deste modo, para cada modelo (*model*) do ficheiro *.XML* a ler, encontram-se as *tags*:

*texture* Inclui o *path* para a textura, no atributo *file*, a ser aplicada na figura geométrica.

*color* Para cada figura geométrica devem ser definidos os componentes:

*diffuse* Cor **difusa** do objeto - (Em *RGB*).

*ambient* Cor **ambiente** do objeto - (Em *RGB*).

*specular* Cor **especular** do objeto - (Em *RGB*).

*emissive* Cor **emissiva** do objeto - (Em *RGB*).

*shininess* Valor da refletividade da luz no objeto.

... sendo necessário utilizar as coordenadas de textura calculadas no generator para desenhar a imagem no objeto.

Para cada cena podem ser definidas a origem para uma ou mais luzes, do tipo:

*point* Especificada a posição da luz.

*directional* Especificada a direção da luz.

*spotlight* Especificadas a posição e direção das luzes, bem como o ângulo *cutoff*.

A partir destas alterações apresentar todo o sistema solar como um modelo texturizado e iluminado, obedecendo à estrutura previamente definida para a cena principal.

## 2 Trabalho Realizado

Funcionalidades Implementadas:

### 1. *Generator*

- (a) Gerar as normais para cada vértice das figuras geométricas. (2.1)
- (b) Gerar as coordenadas de textura para cada figura geométrica. (2.2)
- (c) Atualização do ficheiro *.3D*, com as *tags normals* e *texture*. (2.3)

*ADICIONAL* Criação de um círculo de asteróides. (2.3)

### 2. *Engine*

- (a) Implementação da iluminação:
  - i. num *point*, através da sua posição.
  - ii. *directional*, através da direção do foco.
  - iii. de um *spotlight*, através da posição, direção e *cutoff*
- (b) Implementação de texturas, a partir do *path* da imagem a inserir.
- (c) Implementação das cores difusa, ambiente, especular, emissiva e o coeficiente de *shininess* do objeto.

### 3. Sistema Solar

- (a) Transição para um modelo iluminado e texturizado.
- (b) Adição do cinturão de asteroides.

## 2.1 Cálculo das Normais

Para permitir a iluminação de cada figura geométrica criou-se uma nova instância da classe `t_points normals(number_vectors)`, para armazenar todos os vetores normais.

Reutilizou-se a classe `t_points`, representando cada **vetor** com a classe `Point(x, y, z)`. ... apesar da nomenclatura não traduzir diretamente, vértices e vetores têm o mesmo *layout* para as suas coordenadas, evitando-se criar classes desnecessárias.

A variável `number_vectors` corresponde ao número total de **vetores** do objeto. ... uma vez que será necessário construir vetores para cada um vértice, corresponde ao número de vértices do objeto.

**Plane** Um plano, ou *plane*, é constituído por dois quadriláteros, idênticos, um orientado para o lado positivo do eixo *Y* e outro orientado para o lado negativo deste mesmo eixo.

Pode-se afirmar que:

**Todos os vértices que se encontram na mesma superfície, têm a mesma normal.**

Pelo que:

$$v1 \in plano_1 \quad (1)$$

$$v2 \in plano_1 \implies normal_{v1} = normal_{v2} \quad (2)$$

Neste sentido, só existem **2 vetores normais únicos**. Um para representar o plano, numa visão de cima, e outro para o representar numa visão de baixo.

Dado a ser construído sobre o plano *XZ*, estes dois vetores são estáticos:

$$vetorNormal_{planosuperior} = (0, 1, 0) \quad (3)$$

$$vetorNormal_{planoinferior} = (0, -1, 0) \quad (4)$$

**Box** Semelhante ao plano, a *Box* ou caixa, tem **6 superfícies planas**.

Deste modo, só existem **6 vetores normais** diferentes para cada vértice da figura geométrica.

A caixa encontra-se desenhada na origem, centrada, sendo que todas as suas faces são perpendiculares aos eixos *XYZ* (positivos e negativos). Consequentemente, a normal a cada plano vai ser paralela aos eixos.

Deste modo, apresenta:

$$vetorNormal_{planoxpositivo} = (1, 0, 0) \quad (5)$$

$$vetorNormal_{planoxnegativo} = (-1, 0, 0) \quad (6)$$

$$vetorNormal_{planoypositivo} = (0, 1, 0) \quad (7)$$

$$vetorNormal_{planoynegativo} = (0, -1, 0) \quad (8)$$

$$vetorNormal_{planozpositivo} = (0, 0, 1) \quad (9)$$

$$vetorNormal_{planoznegativo} = (0, 0, -1) \quad (10)$$

$$(11)$$

**Sphere** O cálculo das normais na esfera é feito com base na seguinte propriedade geométrica: Se  $p$  é um vértice da esfera:  $p = (raio * \sin(\alpha) * \cos(\beta), raio * \sin(\beta), raio * \cos(\alpha) * \cos(\beta))$  e como a esfera está centrada no ponto  $(0, 0, 0)$ , o vetor normal é obtido através da normalização do vetor  $n$ , que é igual a  $p - (0, 0, 0)$ .

**Cone** O cálculo das normais do cone foram feitas com 2 abordagens diferentes, para a base, uma vez que esta é desenhado sobre o plano XZ, consequentemente a normal será a apontar para o Y negativo, isto é  $(0, -1, 0)$ .

Para a lateral do cone, a normal foi obtida a partir do produto cartesiano de um vetor tangente à face lateral do cone com

**Cylinder** O cilindro é composto por 2 bases, sendo o a normal da base inferior o inverso da normal da base superior. Como este é construído sobre o XZ, a normal da base superior é  $(0, 1, 0)$  e da base inferior  $(0, -1, 0)$ .

Para calcular as normais do parte lateral do cone, foi utilizada a seguinte propriedade geométrica:

Se  $p$  é um vértice da face lateral do cilindro:  $p = (raio * \sin(\alpha), y, raio * \cos(\alpha))$  então:  $n = (\sin(\alpha), 0, \cos(\alpha))$

**Torus** As normais do *torus* são calculadas de uma forma muito similar à das esferas, tendo os pontos:

$$c = (raio * \sin(\alpha) * \cos(\beta), raio * \sin(\beta), raio * \cos(\alpha) * \cos(\beta))$$

$$p = (tamanho * \sin(\alpha) * \cos(\beta), tamanho * \sin(\beta), tamanho * \cos(\alpha) * \cos(\beta))$$

em que raio é o a distância do centro  $(0, 0, 0)$  ao centro do *torus* e o tamanho é o raio interno do *torus*, então sabemos que  $c + p$  e  $c - p$  são vértice do *torus* com normais inversas. Desta forma, é possível concluir que a normal destes vértices são obtidas, respetivamente, pela normalização do vetor obtido a partir subtração do ponto  $p$  pelo ponto  $c$  e da subtração do ponto  $c$  pelo ponto  $p$ .

## 2.2 Cálculo das Coordenadas de textura

Foi necessário, para a implementação das texturas no modelo, calcular as coordenadas de textura para cada figura geométrica.

Neste caso, estas coordenadas são  $2D$ , pelo que não era viável utilizar novamente a classe *t\_points*. Optou-se por utilizar um **vetor** de *floats*, `vector<float> p_textures`.

Segue-se para cada figura geométrica:

**Plane** Cada plano é construído com um comprimento,  $l$ , e número de divisões,  $div$ . Deste modo, para enquadrar nas coordenadas de textura, que oscilam entre 0 e 1, foi necessário criar um *step*. ... como tem o mesmo comprimento horizontal e verticalmente, apenas é criado um.

Este step é calculado como:

$$step = 1.0/num_{divisoes} \quad (12)$$

... pelo que temos a translação da distância de uma divisão no plano, para o eixo da textura a inserir.

Do mesmo modo que foram inseridos os vértices, seguindo a **regra da mão direita**, as coordenadas de textura foram inseridas no seu *vetor*. ... construindo os triângulos do mesmo modo que estavam a ser inicialmente.

Efetua-se o mesmo processo para ambas as superfícies do plano, dado a serem idênticas.

**Box** No caso da caixa, dada à sua semelhança com o plano (é repetição deste em 6 orientações diferentes), optou-se pela mesma estratégia.

A caixa apresenta, do mesmo modo, dois parâmetros: comprimento (*length*) e divisões (*divisions*), pelo que traduz-se diretamente do **plano**.

**Sphere** Identificou-se 2 casos de mapeamento, extremidades e resto da esfera. Assim, a construção das extremidades foi o maior desafio, levando a algum estudo para perceber a melhor estratégia a adotar. Apesar de se ter experimentado efetuar *cubemapping*, cálculo através dos ângulos, conversão das coordenadas em *texpoints*, o melhor resultado obteve-se através da utilização de uma abordagem mais linear.

Assim, para o resto da esfera utilizou-se um *step* que correspondia a  $1/stacks$  ou  $1/slices$  e foi-se construindo em simultâneo com o resto dos cálculos. Posteriormente, colocou-se condições de controlo para os pontos de extremidade, pois estes tinham um comportamento diferente. Definiu-se, assim, que o vértice superior teria a mesma coordenada *s* e mais um *step* na coordenada *t*.

O resultado obtido não está perfeito, pois consegue-se identificar algum **blur** quando se aproxima a câmara.

**Cone** Para coordenadas de textura da base do cone, o centro da base corresponde ao centro da textura(0.5, 0.5) e cada slice corresponde a um slice também na textura com o mesmo ângulo  $\alpha$  mas com um raio de 0.5.

Para a parte lateral foram criados 2 *steps*:

- $xStep = 1.0/slices$
- $yStep = 1.0/stacks$

A construção do cone é feita com base num ciclo que itera o número de *stacks* vezes em que o *yStep* começa a 0 e incrementa *yStep* a cada iteração. Em que cada iteração d este ciclo é percorrido outro ciclo com número de *slices* iterações, eu que o *xStep* começa a 0 e incrementa *xStep* a cada iteração. Com estas duas variáveis é facilmente obtido as coordenadas de textura de cada ponto.

**Cylinder** A estratégia utilizada no cilindro foi a mesma que no cone, sendo as texturas das duas bases do cilindro obtidas da mesma forma que a base do cone e o mesmo para as coordenadas de texturas da face lateral.

**Torus** Não houve disponibilidade para o desenvolvimento das *texcoord* do tórus.

### 2.3 Writer

Para poder inserir as duas novas *tags* dentro dos ficheiros *.3D*, pequenas alterações ao *writer* tiveram de ser feitas.

Para começar, todas as funções anteriormente criadas para construir cada uma das figuras geométricas foram alteradas. Agora, retornam um tuplo com **3 valores**:

1. Todos os vértices do objeto.
2. Todos os vetores normais do objeto.
3. Todas as coordenadas de textura para o objeto.

...respetivamente.

Para clarificação, o tuplo apresenta-se como:

---

```
1 tuple<t_points, t_points, std::vector<float>>
```

---

Após essa alteração, só restou atualizar a função:

---

```
1 void write_xml(const char* filepath, GLenum type, t_points
  ↪ all_points, t_points all_normals, std::vector<float> texCoords)
```

---

...recebe atualmente cada uma das listas de vértices/vetores do tuplo e escreve-as pela ordem estipulada.

Assim, preservou-se a estrutura previamente definida para a função *int main(int argc, const char\*\* argv)*, sendo feitos mínimos *refactors*.

**Adicional** Para popular o modelo com mais elementos decidiu-se adicionar uma nuvem de esferas de organização aleatória, um cinturão de asteróides.

A função que criava este modelo, conjunto de figuras:

---

```
1 std::tuple<t_points, t_points, std::vector<float>>
  ↪ create_asteroids(double distMin, double distMax, int maxSize, int
  ↪ slices, int stacks, double alphaMax, double betaMax, int
  ↪ numAsteroids)
```

---

...sendo cada asteróide uma esfera.

Seria necessário indicar a :

- **distMin**: A distância mínima a um asteroide;
- **distMax**: A distância máxima a um asteroide;
- **maxSize**: O raio máximo do asteroide;
- **slices**: O número de slices da esfera;
- **stacks**: O número de stacks da esfera;
- **alphaMax**: O valor máximo do ângulo alpha;
- **betaMax**: O valor máximo do ângulo beta;
- **numAsteroids**: O número de asteroides.

Para efetuar deste modo, foi necessário criar uma variação da figura geométrica **esfera**, a função:

---

```
1      std::tuple<t_points, t_points, std::vector<float>>> create_sphere(int
    ↪ radius, int slices, int stacks, Point offset)
```

---

...sendo adicionado um *offset* aleatório compreendido entre a distância mínima e máxima, para posicionar as esferas, com base na variação de um ângulo  $\alpha$ , horizontal, e um ângulo  $\beta$ , vertical.

Nesta última fase proposta pelo enunciado do trabalho prático foi necessário a criação de novas classes, sendo estas acrescentadas com base na estrutura realizada na primeira fase. As novas classes foram criadas com base nos novos elementos do ficheiro XML, nomeadamente, *texture*, *color* e *lights*, mantendo assim a responsabilidade de leitura do XML para a classe responsável por manipular estes elementos.

Apesar de não existir *normals* no ficheiro XML, foi criada a classe *normals*, responsável pela leitura das normais presentes no ficheiro .3d criado pelo *generator*.

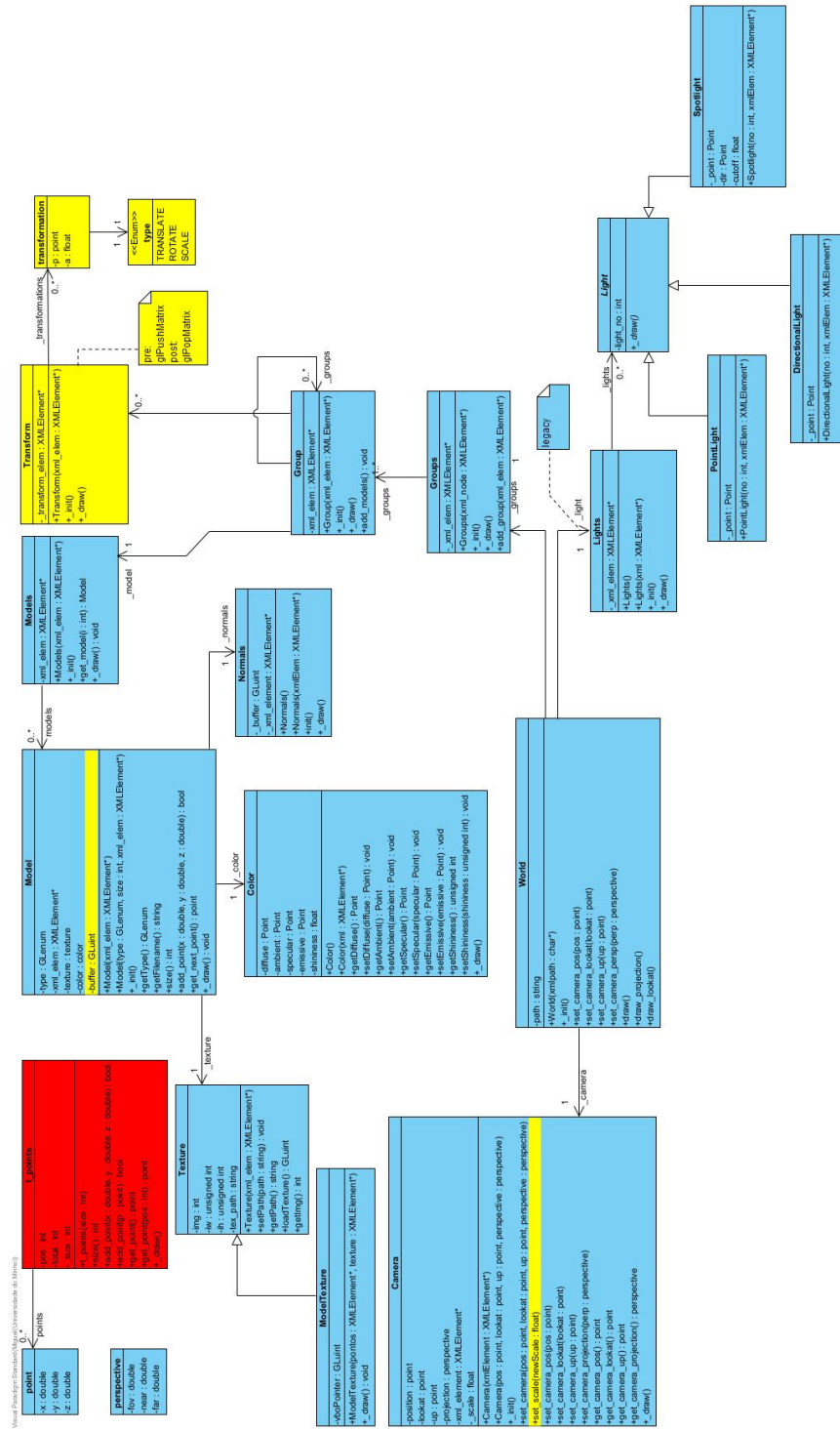


Figura 1: Diagrama de classes



## 2.4 Luzes

Para tratar das diferentes tipos diferentes de luzes foram criadas foram criadas três subclasses da classe abstrata *Light*:

- *DirectionalLight*
- *PointLight*
- *Spotlight*

Em que a classe abstrata tem como argumento o número da luz, e as subclasses os parâmetros necessários para a sua ativação.

A classe *Lights* que é classe agregadora de todas as luzes do modelo e a responsável por processar o elemento *lights* do ficheiro XML...

Todas as luzes são inicializadas com os valores *default* de luz ambiente, difusa e especular semelhantes à **LIGHT0**. Apenas difere na luz ambiente, pois utiliza-se um valor diferente de 0 para haver alguma luminosidade da parte de trás dos objetos, obtendo uma melhor simulação da realidade.

No seguimento da ativação das luzes, tornou-se necessário a ativação das normais com recurso a **VBOs**.

Assim, com recurso a uma classe criada para o efeito, designada **Normals**, foi possível instituir a utilização de normais em cada modelo. A estratégia utilizada consistiu em ler o ficheiro XML, gerar um *buffer* na gráfica, efetuar o seu binding e popular com pontos. Posteriormente, ao realizar o **rendering**, efetua-se a verificação se existe alguma textura associada ao modelo e, caso exista, é executado o método *\_draw* da classe *Normals*.

## 2.5 Cores

A classe *Color* tem como argumentos as 5 componentes da luz, que são inicializadas por defeito com os valores passados pela equipa docente no enunciado do trabalho.

---

```

19 private:
20     float _diffuse[4] = {200.f / 255, 200.f / 255.f, 200.f / 255.f,
    ↪ 1.f};
21     float _ambient[4] = {50.f / 255.f, 50.f / 255.f, 50.f / 255.f,
    ↪ 1.f};
22     float _specular[4] = {0.f, 0.f, 0.f, 1.f};
23     float _emissive[4] = {0.f, 0.f, 0.f, 1.f};
24     float _shininess = 0.f;
25

```

---

Com base no ficheiro XML recebido, os argumentos são atualizados com os valores recebidos.

Na função *\_draw* é feito o *rendering* das cores com o auxílio das funções *glMaterialfv* e *glMateriali*.

## 2.6 Texturas

Para tratar das Texturas foram criadas 2 classes, uma superclasse *Texture* e a sua subclasse *ModelTexture*.

Na classe *Texture* é onde é feito o processamento da imagem com a textura a partir da função *loadTexture*. Esta utiliza como parâmetros de *wrap* o *repeat* tanto em S como em T. De maneira a obter uma textura com melhor qualidade e ainda melhorar o desempenho foi utilizado o *MipMapping*, fazendo proveito da primitiva *linear* para a escolha do *pixel* e da *nearest* para a escolha da textura.

A classe *ModelTexture* por sua vez é responsável por processar as coordenadas de texturas recebidas no ficheiro ".3d", colocando-as no *buffer vboPointer*.

## 2.7 Modelo do Sistema Solar

O sistema solar foi atualizado, inserindo luzes e também as cores e textura para cada modelo. Além disso também foi adicionado um cinturão de asteroides.

Como o sistema solar desenvolvido é apenas constituído por apenas uma estrela, que é o sol, existe apenas uma única fonte de luz que é ponto situado no centro do sol (0, 0, 0). A luz trata-se de um ponto de maneira a emitir luz em todas as direções.

As texturas escolhidas para cada elemento do sistema foram retiradas do *site Solar System Scope*.

As componentes da cor foram escolhidas de maneira a aproximar o modelo do sistema solar da realidade.

- A cor difusa para cada modelo foi escolhida com base na cor predominante da textura.
- A cor ambiente foi escolhida de forma a tentar representar a atmosfera envolvente.
- O único elemento que apresenta cor emissiva é o sol, uma vez que é o único que emite luz.
- Nenhum dos elementos do sistema solar verifica a reflexão especular logo a cor especular e a *shininess* são sempre nulas.

Tal como referido anteriormente, foi adicionado o cinturão de asteroides que se situa entre Marte e Júpiter. O cinturão possui um movimento de rotação sobre o sol.

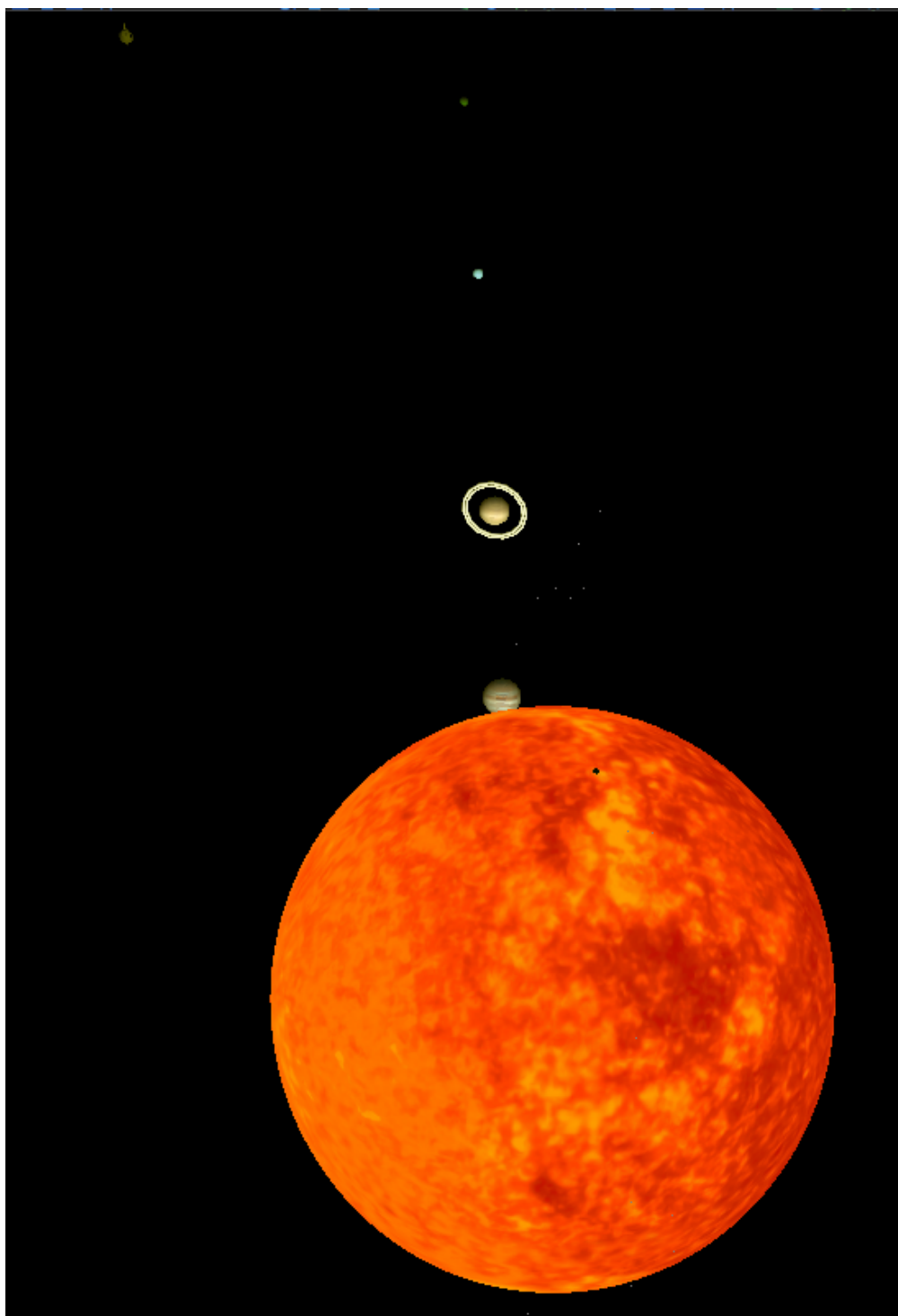


Figura 2: Sistema solar 1

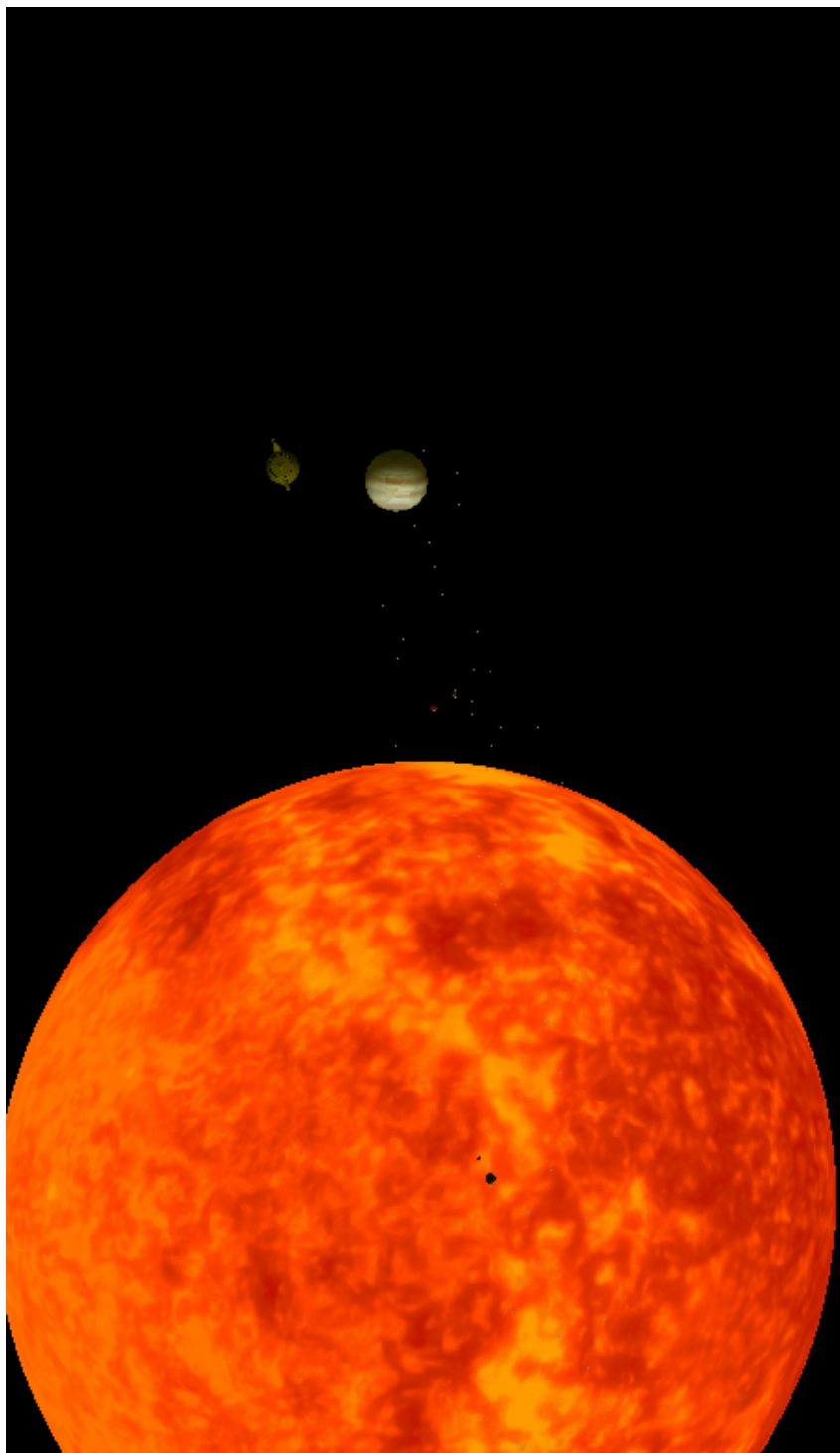


Figura 3: Sistema solar 2

## 2.8 Testes realizados

Para avaliar o desenvolvimento do projeto foram testados os ficheiros de testes disponibilizados pela equipa docente e comparou-se com as imagens com o resultado. As seguintes imagens compararam o modelo desenvolvido pelo grupo(lado esquerdo) com as imagens disponibilizadas.

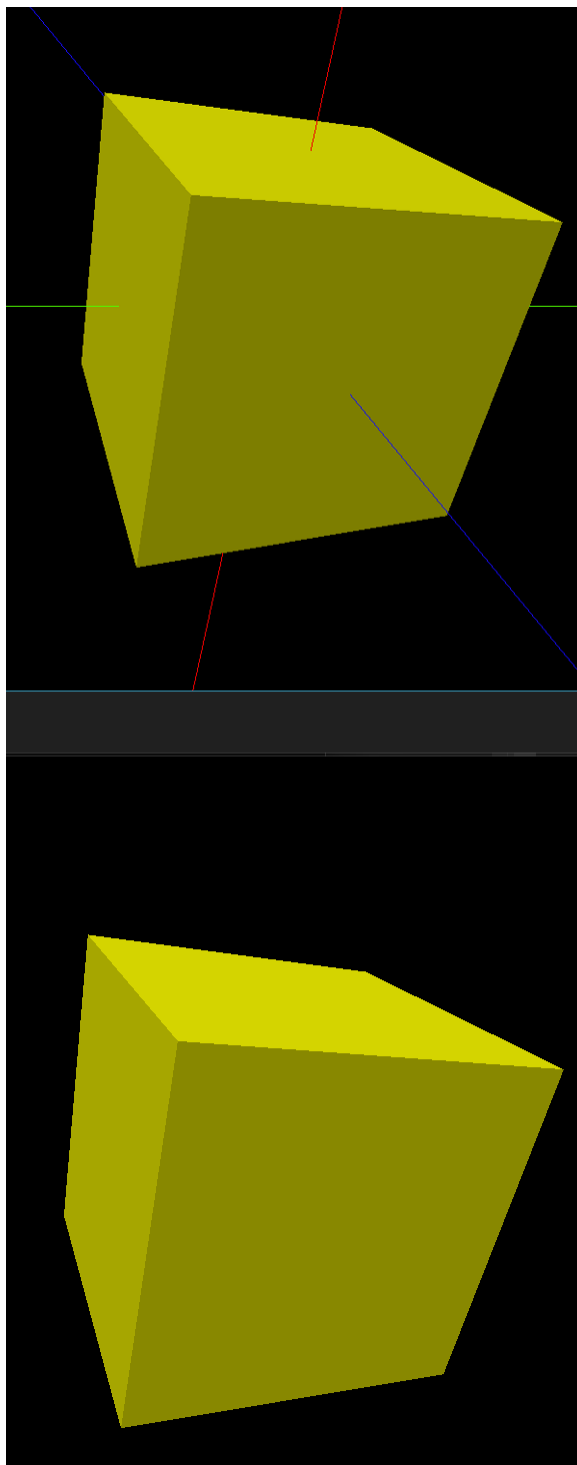


Figura 4: Resultado do *test\_4\_1*

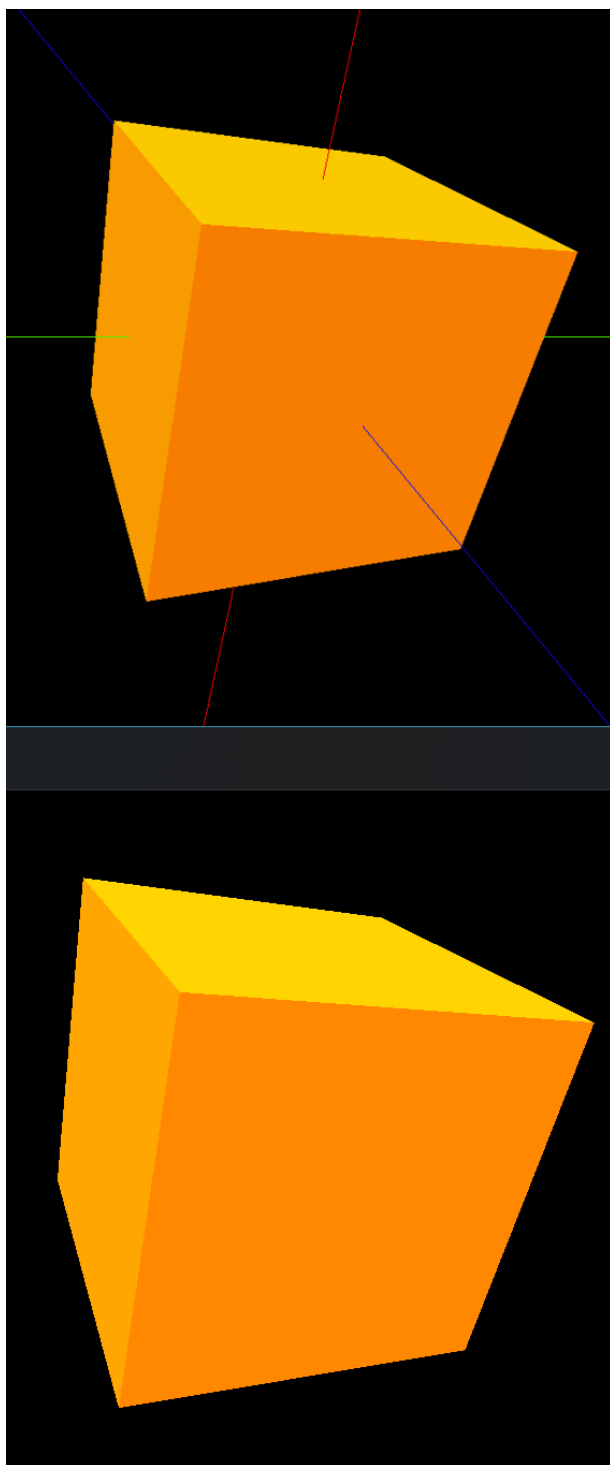


Figura 5: Resultado do *test\_4\_2*

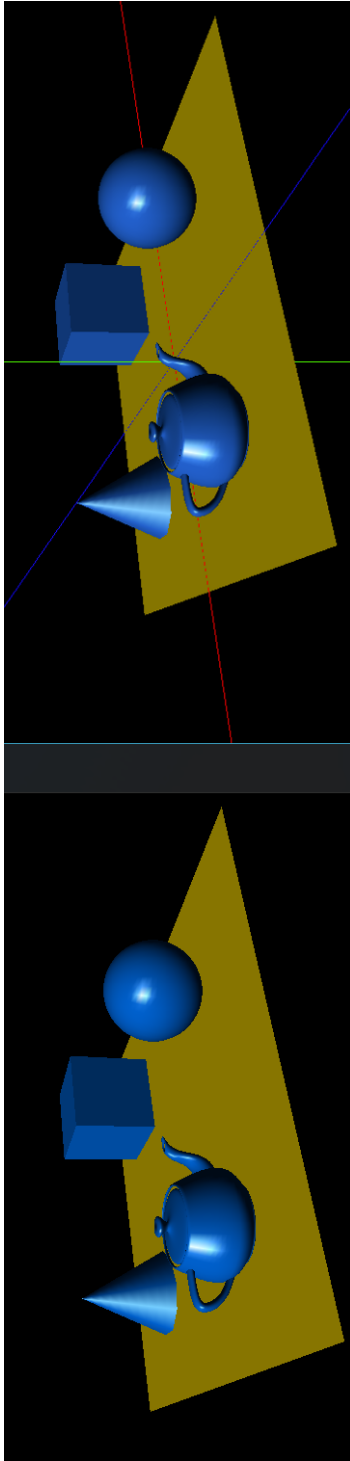


Figura 6: Resultado do *test\_4\_3*



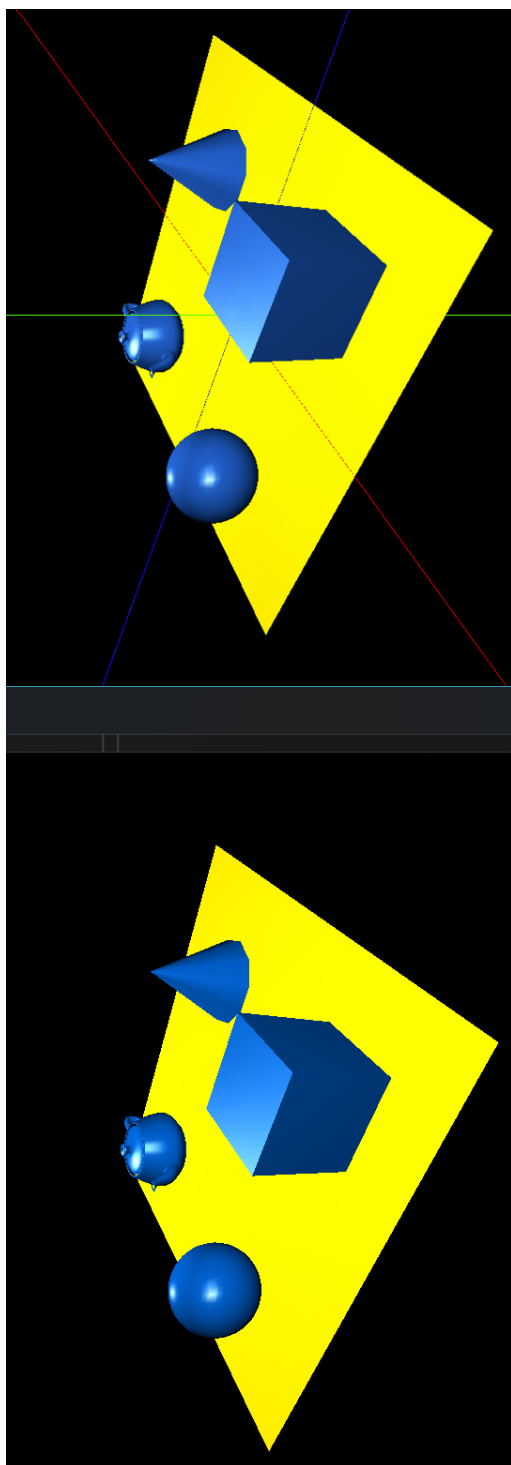


Figura 7: Resultado do *test\_4-4*

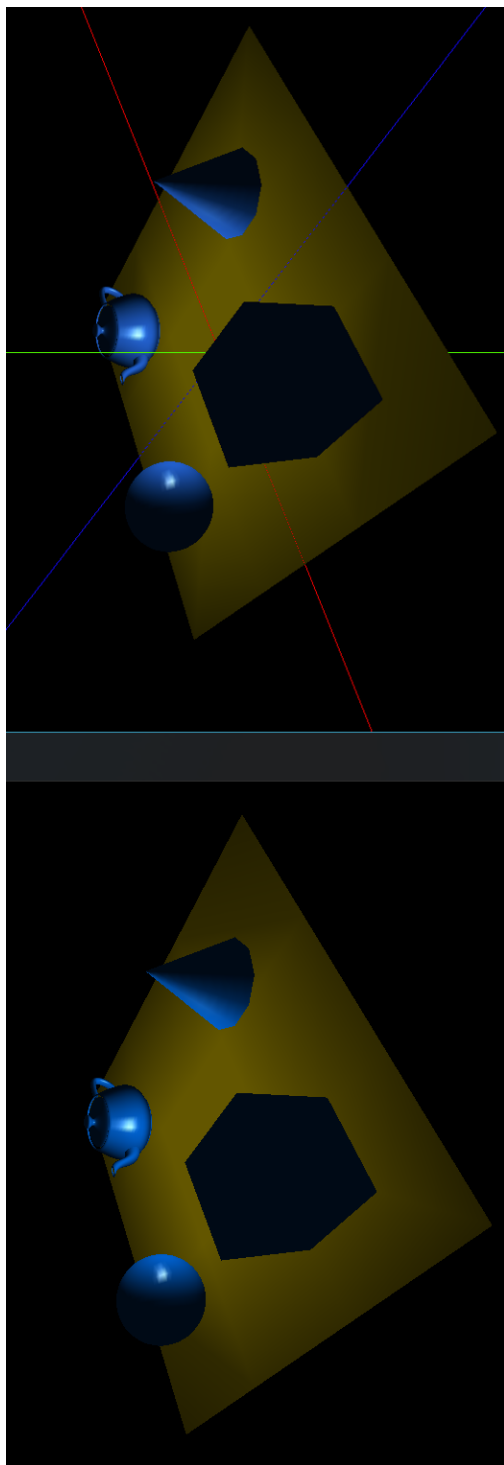


Figura 8: Resultado do *test\_4-5*

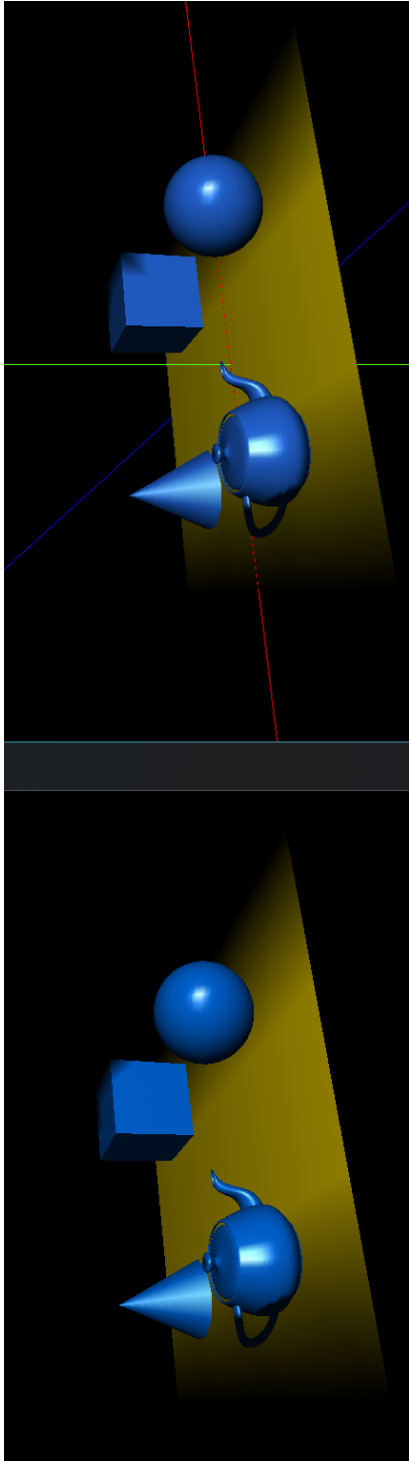


Figura 9: Resultado do *test\_4\_6*

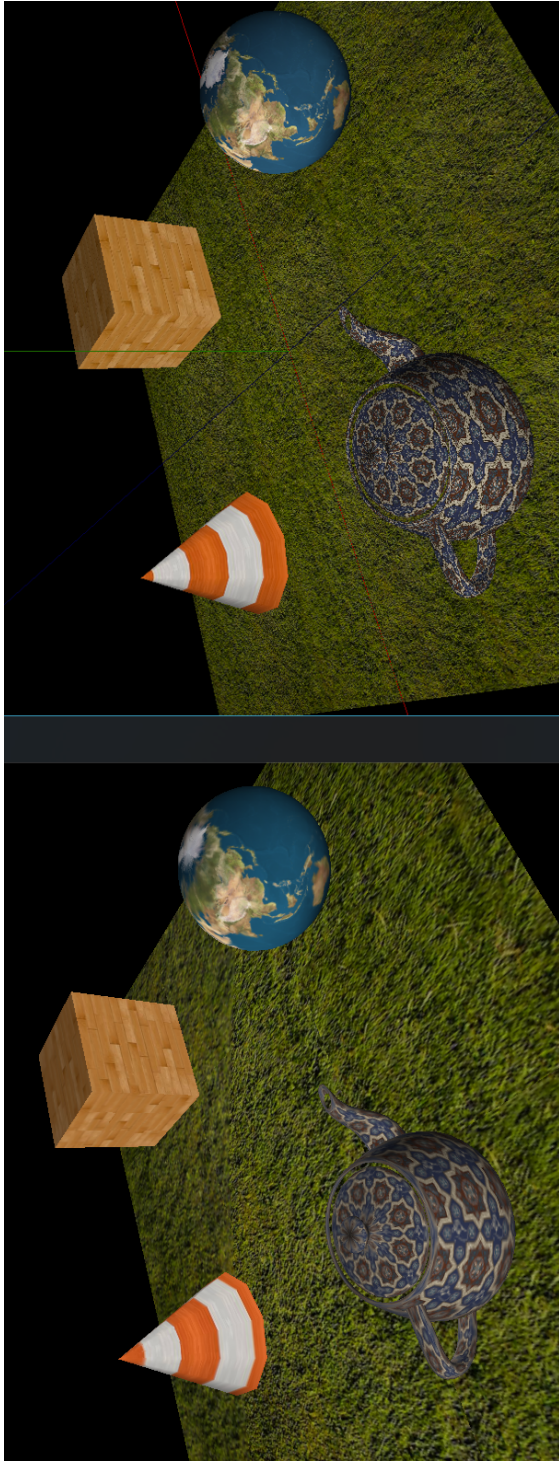


Figura 10: Resultado do *test\_4\_7*

### 3 Conclusões

Esforço que permaneceu até a última fase do projeto, o grupo atualizou ambos os programas, *generator* e *engine*, seguindo a arquitetura inicialmente estabelecida. Deste modo, verifica-se a coesão das decisões tomadas inicialmente, sendo apenas notável a evolução do projeto com a adição de novos elementos.

Não obstante as primitivas objetivo definidas em fases anteriores, nomeadamente relativas ao uso de memória e na organização, foi o desejo do grupo aplicar todo o seu conhecimento agregado no decorrer do ano letivo.

É de notar nesta fase:

- Criação dos vetores normais a cada vértice das figuras geométricas.
- Criação das coordenadas de texturas respetivas.
- Atualização do sistema solar, para um modelo texturado e com iluminação.

No seguimento do trabalho desenvolvido, o grupo pretendia acrescentar algumas funcionalidades, nomeadamente a utilização de índices, acréscimo de algumas *demos* mais elaboradas, melhoria da interação do utilizador com o sistema (apresentação de um menu, possibilidade de carregar em múltiplas teclas em simultâneo), entre outros. Não obstante, a equipa docente ter flexibilizado a entrega do trabalho, tais funcionalidades adicionais não foram cumpridos por falta de disponibilidade do grupo.